

文章编号:1671-6833(2016)03-0036-04

草乌多糖金属配合物的制备、表征与抗癌活性研究

张茜¹, 茹瑞², 李佩佩¹, 冯翠宁¹, 雷强¹, 龙跃¹

(1. 郑州大学 化学与分子工程学院, 河南 郑州 450001; 2. 锡林郭勒盟蒙医医院 内窥镜科, 内蒙古 锡林浩特 026000)

摘要: 以水为提取溶剂从草乌中提取草乌多糖(RPS), 确定了多糖提取的最佳工艺条件: 提取温度90℃; 提取时间4 h; 料液比1:50, 并以草乌多糖为配体, 制备了4种多糖金属配合物(RPS-Ca、RPS-Zn、RPS-Cu、RPS-Fe)。采用MTT(噻唑蓝)法, 以配体草乌多糖为对照, 测定了4种多糖金属配合物对肝癌细胞(HepG2)、乳腺癌细胞(MCF-7)和结肠癌细胞(HT-29)的抑制作用。实验结果显示, 草乌多糖铜配合物对3种癌细胞表现出最强的抑制作用。草乌多糖铜配合物的结构经紫外光谱(UV)、红外光谱(IR)、圆二色谱(CD)、电镜扫描(SEM)和热重分析(TGA)得到表征。

关键词: 草乌; 多糖金属配合物; 制备; 表征; 抗癌活性

中图分类号: O629.1 文献标志码: A doi:10.13705/j.issn.1671-6833.2016.03.008

0 引言

草乌(*Radix Aconiti Kusnezoffii*)为毛茛科植物北乌头的干燥块根, 是中医和蒙医的常用药^[1-3]。草乌中含有多种糖类^[4], 而近年来研究发现, 多糖具有抗肿瘤、抗病毒、抗氧化和免疫调节等多种生物学活性, 且抗肿瘤活性显著并对人体毒副作用小, 因此, 将多糖开发为新型抗肿瘤药物是目前抗肿瘤药物研究领域的热点^[5]。

在对多糖结构进行修饰时, 人们意识到多糖结构中所含有的羟基、氨基和羧基等基团可以与金属离子配位, 形成多糖金属配合物, 这样以多糖作为载体, 不但保留了多糖和金属离子各自的活性类型, 而且还可以使其活性增强, 减少其毒副作用, 缩小产品体积^[6-8]。铜配合物不仅具有抗癌活性, 还具有抗炎、抗溃疡、抗抽搐、抗糖尿病和抗诱变剂等作用^[9]。

笔者前期已经研究了草乌中氨基酸的含量和种类^[10], 且有关草乌及草乌多糖研究的文献比较多, 但草乌多糖与金属离子作用形成多糖金属配合物目前还未见报道。笔者采用水为提取溶剂和Sevage溶剂除蛋白的方法从草乌中提取多糖, 并优化了提取工艺, 将草乌多糖与金属离子配位合成出4种草乌多糖金属配合物。通过抗癌活性实

验, 筛选出的草乌多糖铜配合物对3种癌细胞表现出最强的抑制作用, 并对其结构进行了表征。

1 实验部分

1.1 试剂和仪器

草乌(购自内蒙古通辽市); 氢氧化钠、无水乙醇、丙酮、无水乙醚、氯化锌、氯化钙、氯化铜和氯化铁均为市售分析纯; 测试所用肿瘤细胞购自中国科学院上海生命科学研究院。

循环水式多用真空泵(SHB-Ⅲ)、电子天平(CP214)、旋转蒸发仪(RE5299)、透析袋(MD34)、紫外分光光度计(Perkin Elmer)、傅里叶变换红外光谱仪(Vector 22)、圆二色光谱仪(Applied Photophysics Ltd)、电镜扫描仪(JSM-7100F)、热重分析仪(STA7300)。

1.2 实验方法

1.2.1 草乌中多糖的提取

将草乌样品粉碎后, 过250 μm分子筛, 乙醇回流脱脂3 h, 将其滤渣晾干备用。称取一定量干燥脱脂后的草乌样品按照一定料液比(草乌样品质量与提取溶液体积之比)加入提取溶剂(水、0.5 mol/L NaOH、0.5 mol/L HCl), 在一定温度下(60~100℃)提取2~6 h, 过滤, 合并提取液, 浓缩至原体积的1/5。将5倍量的乙醇加入到上述浓缩液中静置

收稿日期:2015-09-20; 修订日期:2015-11-26

基金项目:河南省科技攻关计划资助项目(0624420031); 河南省基础研究基金资助项目(022463001)

通信作者:龙跃(1960—), 男, 湖南长沙人, 郑州大学教授, 主要从事药物合成及天然有机化学研究, E-mail: longyue@zzu.edu.cn.

24 h,过滤,用无水乙醇、丙酮、无水乙醚洗涤沉淀,干燥。将固体用适量热水溶解,转移至分液漏斗中,加入1/3体积Sevage溶剂除蛋白质(Sevage溶剂组成为氯仿和正丁醇的摩尔比为4:1),分出上层液体,加入5倍量乙醇沉淀24 h,过滤,并用无水乙醇、丙酮、无水乙醚洗涤,干燥,得粗制多糖,称重,计算收率。

1.2.2 草乌多糖的纯化

将粗制多糖用少量热水溶解,转移至透析袋中用去离子水透析2 d。透析过程中需每12 h换水一次。透析完毕后,将袋中液体倒入烧杯中,加入5倍量乙醇沉淀24 h,过滤,并用无水乙醇、丙酮、无水乙醚洗涤,干燥,得到精品多糖。

1.2.3 多糖金属配合物的制备

取精品多糖0.5 g加入15 mL水溶解,用10%氢氧化钠溶液调节pH值在8.0~8.5,在70℃水浴下搅拌,并缓慢滴加2 mol/L氯化铜溶液。当出现絮状沉淀时立即停止滴加,反应1 h后冷却至室温离心,取其上清液。向上清液中加入5倍体积的乙醇沉淀24 h,过滤,并用乙醇、丙酮洗涤、干燥得粗制品0.52 g,然后,将粗制的多糖金属配

合物溶于20 mL去离子水中透析3 d。透析过程中需要不断换水。透析完毕后,将袋中液体倒入烧杯中,加入5倍量乙醇沉淀24 h,过滤,并用无水乙醇、丙酮、无水乙醚洗涤,干燥,得到精制草乌多糖铜配合物0.48 g。钙(II)、锌(II)、铁(III)配合物的制备与上述方法相同。

2 抗癌活性的测定

2.1 实验中所用的肿瘤细胞

所用的肿瘤细胞:人肝癌细胞(HepG2)、乳腺癌细胞(MCF-7)和结肠癌细胞(HT-29)。实验细胞均用改良的RPMI-1640培养基(含10%的胎牛血清和1%的双抗)在37℃的CO₂孵箱中培养(95%的氧气,5%的CO₂,保持在适当的湿度)。

2.2 抗癌活性的测定

采用MTT法染色原理,向每孔中加入5 g/L的MTT溶液20 μL,4 h后弃去上清液,每孔加入DMSO 150 μL,置于摇床摇10 min使结晶物溶解。在酶标仪上测其吸光度值A($\lambda = 490$ nm),结果以复孔A的均值表示。对测得的数值进行处理,计算抑制率,结果见表1。

表1 多糖金属配合物对癌细胞的抑制率

Tab. 1 Growth inhibition rates of cancer cell lines with polysaccharide metal complexes

化合物	人肝癌细胞(HEPG2)		乳腺癌细胞(MCF-7)		结肠癌细胞(HT-29)		%
	100 μg/ml	200 μg/ml	100 μg/ml	200 μg/ml	100 μg/ml	200 μg/ml	
RPS	22.80	48.55	4.68	3.13	2.65	5.22	
RPS-Ca	35.60	51.46	3.60	6.91	27.14	33.13	
RPS-Zn	40.77	55.91	10.11	14.09	27.13	60.40	
RPS-Cu	47.78	68.98	25.73	35.29	46.13	62.77	
RPS-Fe	15.30	28.20	<0	19.31	14.20	26.20	

3 结果与讨论

3.1 提取条件的选择

3.1.1 提取溶剂的选择

按照一定料液比1:40,分别以水、0.5 mol/L NaOH、0.5 mol/L HCl为提取溶剂,100℃提取3 h,计算粗制多糖收率,结果见图1。

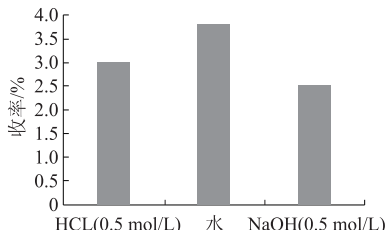


图1 不同溶剂的影响

Fig. 1 Effect of different solvents

由图1可以看出,水溶剂提取多糖的收率最大,因此,选定水为提取溶剂。

3.1.2 料液比的选择

以水为提取溶剂,料液比分别为1:20、1:30、1:40、1:50和1:60,100℃提取3 h,计算粗制多糖收率,结果见图2。

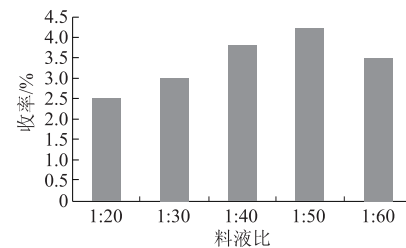


图2 料液比的影响

Fig. 2 Effect of ratio of material to liquid

由图2的结果可知,当料液比为1:50时,多糖的收率最大;当料液比小于1:50时,收率随着料液比的增加而增大;当料液比超过1:50时,收率减小。

3.1.3 提取温度的选择

以水为提取溶剂,料液比为1:50,分别于60、70、80、90、100℃提取4 h,计算粗制多糖收率,结果见图3。由图3的结果可知,当提取温度由60℃增加到90℃时,多糖收率增加明显;当温度高于90℃后,多糖收率增加趋势减缓,因此,选择90℃为提取温度。

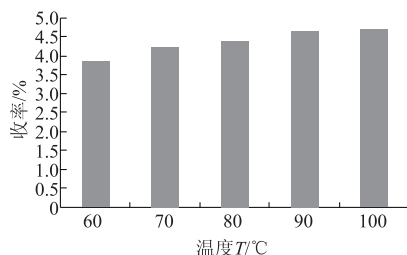


Fig. 3 Effect of extraction temperature

3.1.4 提取时间的选择

以水为提取溶剂,料液比为1:50,90℃下提取2、3、4、5、6 h,计算粗制多糖收率,结果见图4。

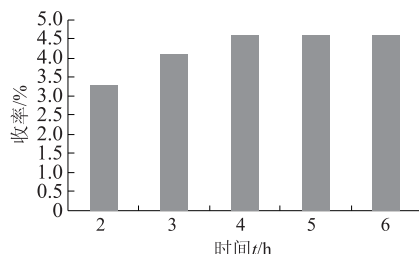


Fig. 4 Effect of extraction time

由图4的结果可知,当提取时间由2 h 增加到4 h时,多糖收率增加明显;4 h后多糖收率增加趋势减缓,因此,选择4 h为提取时间。

3.2 抗癌活性结果

在合成的4种多糖金属配合物中,多糖钙配合物、多糖锌配合物和多糖铜配合物相对于草乌多糖对3种癌细胞的抑制率都有很大提高,其中多糖铜配合物的抑制作用最大。而多糖铁配合物相对于草乌多糖对人肝癌细胞(HepG2)的抑制率有所降低,且浓度为100 μg/ml时对乳腺癌细胞(MCF-7)几乎没有表现出抑制活性。

3.3 多糖金属配合物的表征

草乌多糖和草乌多糖铜配合物的红外光谱如图5所示。草乌多糖红外光谱图主要吸收峰的归属:3 420 cm⁻¹处为—OH的伸缩振动吸收峰;1 732 cm⁻¹处为羰基的伸缩振动吸收峰;1 649.82 cm⁻¹处为—OH的弯曲振动吸收峰。草乌多糖铜配合物的红外光谱图中主要吸收峰的归属:3 416 cm⁻¹处为—OH的伸缩振动吸收峰,与多糖相比发生少量红移;1 648 cm⁻¹处为羰基的伸缩振动吸收峰;1 623 cm⁻¹处为—OH的弯曲振动吸收峰,与多糖相比发生了明显的红移。

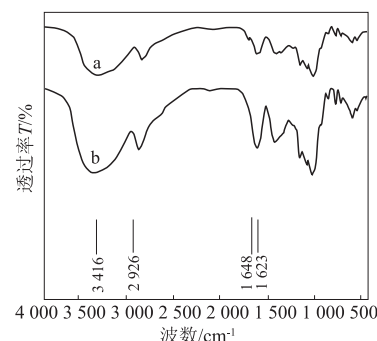


图5 草乌多糖(a)和草乌多糖铜配合物(b)的红外光谱

Fig. 5 IR spectra of RPS(a) and RPS-Cu(b)

草乌多糖和草乌多糖铜配合物的紫外光谱如图6所示。可以看出,草乌多糖的最大吸收波长在237 nm处,与铜离子作用后最大吸收波长减小为228 nm,这是由于形成配合物之后影响了电子的跃迁,从而导致最大吸收波长发生改变。

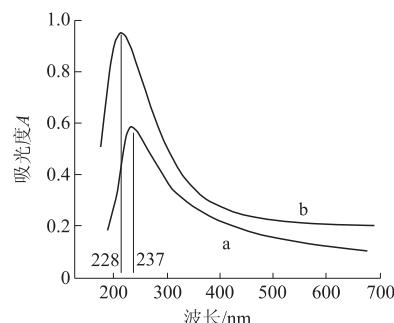


图6 草乌多糖(a)和草乌多糖铜配合物(b)的紫外光谱

Fig. 6 UV spectra of RPS(a) and RPS-Cu(b)

观察草乌多糖和草乌多糖金属铜配合物的CD谱如图7所示。由图7可以发现,波长在200~300 nm时谱图变化较为明显,波长在248 nm附近铜配合物出现负Cotton效应,而多糖并没有此种效应。

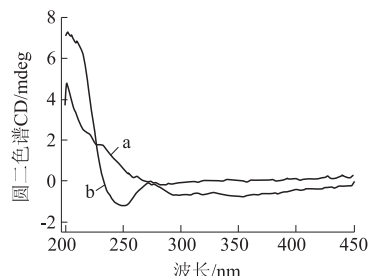


图7 草乌多糖(a)和草乌多糖铜配合物(b)的圆二色光谱

Fig. 7 CD spectra of RPS(a) and RPS-Cu(b)

扫描电镜是定性分析、表征化合物表面形貌的重要手段之一。草乌多糖和草乌多糖铜配合物的扫描电镜图如图8所示。从图8可以看出,配体草乌多糖呈交联网状,与铜离子配位后,呈颗粒状,配位前后,表面形貌发生了显著的变化。

草乌多糖和草乌多糖铜配合物的热重曲线如图9所示。从图9可以看出,草乌多糖的第一段质

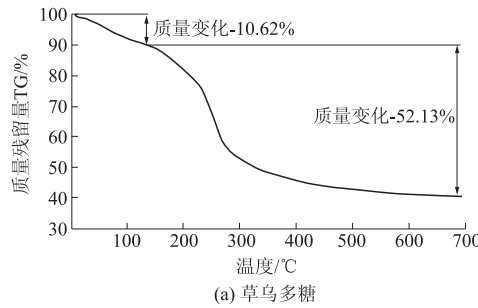


图9 草乌多糖和草乌多糖铜配合物的热重曲线

Fig. 9 TGA of RPS(a) and RPS-Cu(b)

4 结论

确定了草乌中多糖提取的最佳工艺条件:提取溶剂为水,提取温度90℃,提取时间4 h,料液比1:50。通过体外抗癌活性筛选结果发现,实验合成了4种草乌多糖金属配合物,且4种草乌多糖金属配合物除草乌多糖铁外,其余均表现出比草乌多糖高的抑制活性,其中草乌多糖铜配合物对3种肿瘤细胞的抑制作用最强。除此之外,其结构经紫外光谱(UV)、红外光谱(IR)、圆二色谱(CD)、电镜扫描(SEM)和热重分析(TGA)得到表征。

参考文献:

- [1] 肖培根. 川乌草乌附子[M]. 北京:中国中医药出版社, 2000.
- [2] 李正邦, 吕光华, 陈东林, 等. 草乌中生物碱的化学研究[J]. 天然产物研究与开发, 1997, 9(1): 9-10.
- [3] 陈嬿, 朱元龙, 朱任宏. 中国乌头的研究[J]. 药学学报, 1965, 12(7): 435-436.
- [4] 孙玉军, 陈彦, 吴佳静. 草乌多糖的分离纯化和组

量损失在小于177℃(质量损失10.62%),草乌多糖铜配合物的第一段质量损失在小于216℃(质量损失9.73%),通过对草乌多糖及其配合物的热重曲线可以看出,形成配合物后,多糖的热稳定性增加。综合以上结果,可以说明多糖与金属离子发生了配位。

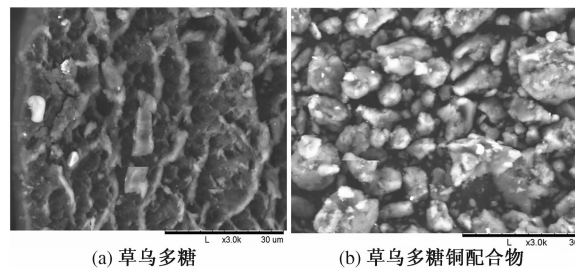
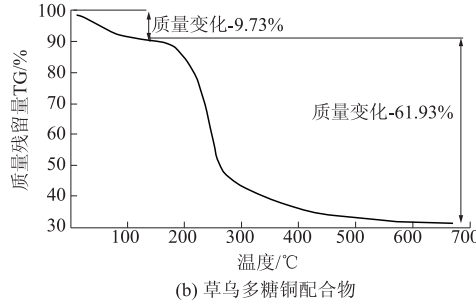


图8 草乌多糖(a)和草乌多糖铜

配合物(b)的扫描电镜显微图

Fig. 8 SEM micrographs of RPS(a) and RPS-Cu(b)



成性质研究[J]. 中国药学杂志, 2000, 35(11): 731-732.

- [5] 林俊, 李萍, 陈靠山. 近5年多糖抗肿瘤活性研究进展[J]. 中国中药杂志, 2013, 38(8): 1116-1120.
- [6] 柴晓华, 王飞利, 黄洁. 金属药物研究新进展[J]. 化学试剂, 2008, 30(2): 99-103.
- [7] 王晓晖, 白海泉, 乌兰格日乐. 多糖金属配合物的研究进展[J]. 内蒙古民族大学学报(自然科学版), 2014, 29(5): 516-518.
- [8] ZHU Yang, CHEN Yao, LI Qian, et al. Preparation, characterization, and anti-Helicobacter pylori activity of Bi³⁺-Hericium erinaceus polysaccharide complex [J]. Carbohydrate polymers, 2014, 110: 231-237.
- [9] 尹富玲, 申佳, 邹佳嘉, 等. 2,2,-联吡啶和去甲基斑蝥酸根桥联双核铜(II)配合物的合成、结构表征及抗癌活性的研究[J]. 化学学报, 2003, 61(4): 556-561.
- [10] 姚学文, 黄丽华, 雷强, 等. 内蒙古草乌中氨基酸提取工艺的研究及测定[J]. 郑州大学学报(理学版), 2014, 46(4): 97-100.

(下转第43页)